

Relatório do Trabalho Laboratorial nº 2

Informação e Codificação (2025/26)

Pedro Miguel Miranda de Melo (114208)

Nome do Aluno 2 (Número Mec.)

Nome do Aluno 3 (Número Mec.)

Departamento de Eletrónica, Telecomunicações e Informática (DETI)

Universidade de Aveiro

Novembro de 2025

Conteúdo

1	Introdução	3
2	Parte I: Manipulação Básica de Imagens com OpenCV	3
2.1	Programa <code>extract_channel</code>	3
2.1.1	Funcionalidade e Utilização	3
2.2	Programa <code>image_operations</code>	5
2.2.1	Negativo da Imagem (<code>image_negative</code>)	5
2.2.2	Espelhamento da Imagem (<code>image_mirror</code>)	5
2.2.3	Rotação da Imagem (<code>image_rotate</code>)	6
2.2.4	Ajuste de Intensidade (<code>image_intensity</code>)	6
3	Parte II: Classe de Codificação Golomb	8
3.1	Classe <code>GolombCodec</code>	8
4	Parte III: Codec Áudio Lossless	8
4.1	Arquitetura do Codec (<code>audio_golomb_codec</code>)	8
4.2	Análise de Desempenho e Compressão	8
5	Parte IV: Codec Imagem Lossless (Grayscale)	8
5.1	Arquitetura do Codec (<code>image_golomb_codec</code>)	8
5.2	Análise de Desempenho e Compressão	8
6	Conclusões	8

1 Introdução

Este relatório documenta o desenvolvimento e os resultados obtidos no âmbito do Trabalho Laboratorial nº 2 da unidade curricular de Informação e Codificação (2025/26), lecionada no Departamento de Eletrónica, Telecomunicações e Informática (DETI) da Universidade de Aveiro.

O projeto foca-se em duas áreas principais: a manipulação básica de imagens digitais utilizando a biblioteca OpenCV e a implementação de um sistema de codificação entrópica (Codificação Golomb) aplicado à compressão sem perdas (*lossless*) de sinais de áudio e imagem. O desenvolvimento foi realizado em C/C++, complementando as ferramentas desenvolvidas no trabalho anterior com novas funcionalidades.

O código-fonte completo do projeto está disponível publicamente no seguinte repositório GitHub: https://github.com/Rubenc1234/IC_miniP1/tree/main/Project2.

2 Parte I: Manipulação Básica de Imagens com OpenCV

A primeira parte do trabalho consistiu na familiarização com a biblioteca OpenCV através da implementação de programas para realizar operações fundamentais em imagens digitais, manipulando diretamente os seus píxeis. Foi instalada a versão 4.x da biblioteca, utilizando os pacotes pré-compilados disponíveis através do gestor de pacotes APT ('sudo apt install libopencv-dev pkg-config').

2.1 Programa extract_channel

Este programa tem como objetivo extrair um canal de cor específico (Azul, Verde ou Vermelho) de uma imagem de entrada, gerando uma imagem de saída em tons de cinza correspondente a esse canal.

2.1.1 Funcionalidade e Utilização

O programa lê uma imagem a cores (representada internamente em formato BGR pelo OpenCV). De seguida, cria uma nova imagem monocromática (CV_8UC1) com as mesmas dimensões. Percorrendo a imagem original píxel a píxel, o valor do canal especificado pelo utilizador (0 para Azul, 1 para Verde, 2 para Vermelho) é copiado para a posição correspondente na imagem de saída. A leitura e escrita dos píxeis é feita usando o método `Mat::at<>()`.

A sintaxe de utilização é a seguinte:

```
1 ./bin/extract_channel <imagem_entrada> <imagem_saida> <numero_canal>
```

Listing 1: Sintaxe de Uso do extract_channel

Onde `numero_canal` deve ser 0, 1 ou 2. O formato da imagem de saída deve ser um que suporte imagens monocromáticas, como `.pgm` ou `.png`.

Exemplo de Teste: Para extraer os canais Azul (0), Verde (1) e Vermelho (2) da imagem `airplane.ppm`:

```
1 ./bin/extract_channel img/airplane.ppm imagens/airplane_extract_0.png 0
2 ./bin/extract_channel img/airplane.ppm imagens/airplane_extract_1.png 1
3 ./bin/extract_channel img/airplane.ppm imagens/airplane_extract_2.png 2
```

A Figura 5 mostra o resultado da extração dos três canais de cor.



Figura 1: *
Imagen Original (airplane)



Figura 2: *
Canal Azul (0)



Figura 3: *
Canal Verde (1)



Figura 4: *
Canal Vermelho (2)

Figura 5: Extração dos canais B, G, R da imagem original.

2.2 Programa image_operations

Este programa engloba um conjunto de operações geométricas e de intensidade sobre imagens, implementadas através da manipulação direta dos píxeis, sem recurso a funções específicas do OpenCV para essas transformações. Foram criados executáveis separados para cada operação para maior clareza.

2.2.1 Negativo da Imagem (image_negative)

Esta operação inverte os valores de intensidade de cada canal de cor. Para uma imagem de 8 bits por canal, o valor do píxel negativo P'_{cor} é calculado a partir do original P_{cor} como:

$$P'_{\text{cor}} = 255 - P_{\text{cor}}$$

A operação é aplicada independentemente a cada um dos canais B, G, R.

Utilização e Exemplo:

```
1 ./bin/image_negative <imagem_entrada> <imagem_saida> [view]
```

Listing 2: Sintaxe de Uso do image_negative

```
1 ./bin/image_negative img/airplane.ppm imagens/airplane_neg.png
```

O resultado é apresentado na Figura 8.



Figura 6: *
Imagen Original



Figura 7: *
Imagen Negativa

Figura 8: Resultado da operação de negativo.

2.2.2 Espelhamento da Imagem (image_mirror)

Esta funcionalidade permite espelhar a imagem horizontal ou verticalmente.

- **Espelhamento Horizontal (h):** O píxel (r, c) recebe o valor do píxel $(r, \text{largura} - 1 - c)$.
- **Espelhamento Vertical (v):** O píxel (r, c) recebe o valor do píxel $(\text{altura} - 1 - r, c)$.

Utilização e Exemplo:

```
1 ./bin/image_mirror <imagem_entrada> <imagem_saida> <h | v> [view]
```

Listing 3: Sintaxe de Uso do image_mirror

```
1 ./bin/image_mirror img/airplane.ppm imagens/airplane_mirror_h.png h
2 ./bin/image_mirror img/airplane.ppm imagens/airplane_mirror_v.png v
```

Os resultados são apresentados na Figura 12.



Figura 9: *
Original

Figura 10: *
Espelhada Horizontalmente

Figura 11: *
Espelhada Verticalmente

Figura 12: Resultados da operação de espelhamento.

2.2.3 Rotação da Imagem (image_rotate)

Implementa a rotação da imagem por qualquer ângulo múltiplo de 90 graus (positivo, negativo ou zero). O programa normaliza o ângulo fornecido para um equivalente em $\{0, 90, 180, 270\}$ graus no sentido horário e calcula a posição do píxel de origem. Para rotações de 90 ou 270 graus, as dimensões da imagem são trocadas.

Utilização e Exemplo:

```
1 ./bin/image_rotate <imagem_entrada> <imagem_saida> <angulo>
```

Listing 4: Sintaxe de Uso do image_rotate

```
1 ./bin/image_rotate img/airplane.ppm imagens/airplane_rotated90.png 90
2 ./bin/image_rotate img/airplane.ppm imagens/airplane_rotated180.png 180 %
3 ./bin/image_rotate img/airplane.ppm imagens/airplane_rotated270.png 270 %
```

A Figura 17 ilustra a rotação de 90 graus.

2.2.4 Ajuste de Intensidade (image_intensity)

Permite aumentar ou diminuir o brilho geral da imagem. O programa aceita um valor percentual no intervalo $[-100, 100]$. Este valor é mapeado para um ajuste aditivo A no intervalo $[-255, 255]$:

$$A = \text{round}(\text{percentagem} \times 2.55)$$

Este valor A é somado a cada canal de cor (B, G, R) de cada píxel. A função `saturate_cast<uchar>` garante que o resultado final permaneça no intervalo válido $[0, 255]$.



Figura 13: *
Imagen Original



Figura 14: *
Rotação 90° Horário

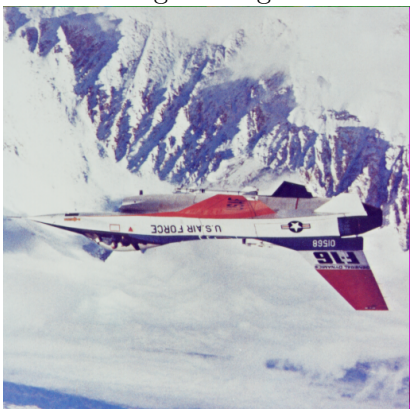


Figura 15: *
Rotação 180° Horário



Figura 16: *
Rotação 270° Horário

Figura 17: Resultado da operação de rotação.

Utilização e Exemplo:

```
1 ./bin/image_intensity <imagem_entrada> <imagem_saida> <percentagem_ajuste>
```

Listing 5: Sintaxe de Uso do image_intensity

```
1 ./bin/image_intensity img/airplane.ppm imagens/airplane_brighter_50.png 50
2 ./bin/image_intensity img/airplane.ppm imagens/airplane_darker_-50.png -50
```

A Figura 21 mostra os resultados para aumento e diminuição de 50%.



Figura 18: *
Original (0%)

Figura 19: *
Brilho +50%

Figura 20: *
Brilho -50%

Figura 21: Resultados da operação de ajuste de intensidade.

3 Parte II: Classe de Codificação Golomb

Esta parte focou-se na implementação de uma classe C++ para a codificação Golomb, uma técnica de codificação entrópica eficiente para fontes com distribuições geométricas ou de Laplace.

3.1 Classe GolombCodec

4 Parte III: Codec Áudio Lossless

Nesta secção, foi desenvolvido um codec de áudio sem perdas (*lossless*), utilizando a codificação Golomb implementada na Parte II para comprimir os resíduos de predição.

4.1 Arquitetura do Codec (audio_golomb_codec)

4.2 Análise de Desempenho e Compressão

5 Parte IV: Codec Imagem Lossless (Grayscale)

Aplicando os mesmos princípios da Parte III, foi desenvolvido um codec sem perdas para imagens em escala de cinza.

5.1 Arquitetura do Codec (image_golomb_codec)

5.2 Análise de Desempenho e Compressão

6 Conclusões